

机械加工 工艺手册

第2卷

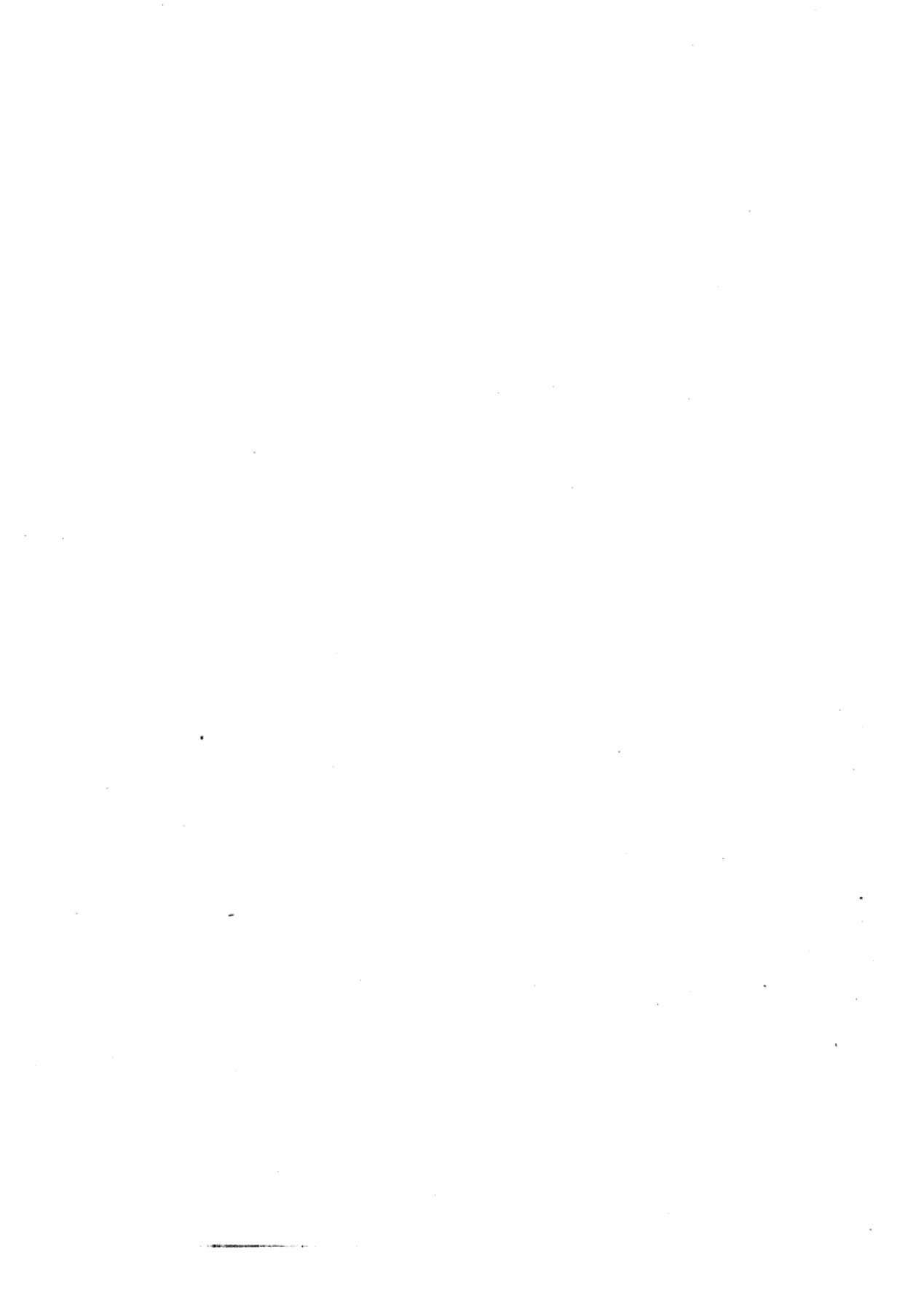
机械工业出版社

第13章 磨 削

主 编 薄 宵
编 写 薄 宵 南京汽车制造厂
白 锋 南京汽车制造厂
程伦锡 南京汽车制造厂
周鑫森 南京汽车制造厂
吴勇发 南京汽车制造厂
李龙天 南京汽车制造厂
周德生 第二汽车制造厂

主 审 钱帷圭 郑州磨料磨具磨削研究所
曹硕生 广西大学
郑焕文 东北工学院
黄 仁 东南理工大学
赵芝眉 东南理工大学

责任编辑 张斌如

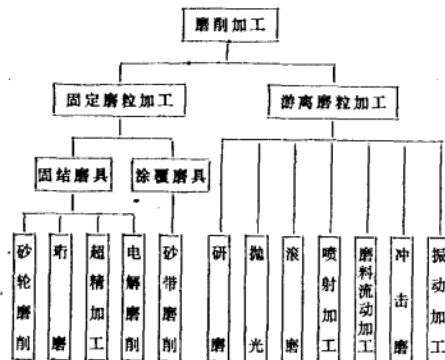


第1节 磨削加工 方法及机理

1 磨削加工方法分类

磨削加工是指用磨料来切除材料的加工方法，根据工艺目的和要求不同，磨削加工已发展为多种形式的加工工艺。通常按工具类型进行分类，可分为使用固定磨粒的和游离磨粒的两大类（表13·1-1）。各种加工形式的用途、工作原理和加工运动情况有相当大的差别，但都存在摩擦、微切削和表面化学反应等现象，只是形式和程度不同而已。

表13·1-1 磨削加工分类

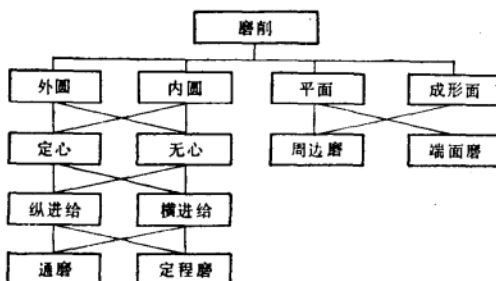


通常所谓“磨削”，主要指用砂轮进行磨削。砂轮磨削方式可以有多种划分方法。

一般按照加工对象可分为外圆、内圆、平面及成形磨削；

旋转表面按照夹紧和驱动工件的方法，又可分为定心磨削与无心磨削；

表13·1-2 常用砂轮磨削方式和方法



按照进给方向相对于加工表面的关系，可分为纵向进给与横向进给磨削；

考虑磨削行程之后，砂轮相对工件的位置，又可分为通磨与定程磨；

考虑砂轮的工作表面类型，又分为周边磨削、端面磨削和周边-端面磨削。

以上所列的大部分磨削方式，在生产实践中并不总是同时存在的，许多磨削方式可以由这些个别特征结合产生，最常用的结合方式见表13·1-2。

上表所示磨削方式和方法，应根据具体条件采用。如磨平面，既可采用端面磨削，也可采用周边磨削，应视设备、加工条件和加工习惯来决定。

2 磨削机理

2·1 磨削加工特点

磨削加工本质上属切削加工。一般将砂轮看作很多刀齿的铣刀，磨削就是利用这些刀齿进行超高速铣削，但是与通常的切削加工相比又有以下显著特点：

(1) 切削刃不规则 切削刃的形状和分布均处于不规则的随机状态，其形状、大小各异。

砂轮磨粒切削刃的几何参数见图13·1-1。磨粒切削刃的切削角 δ_s 和前角 γ_s 、刀口楔角 β_s 、磨粒刃端圆半径 r_s ，它们影响着砂轮的锋锐程度和切削能力。

根据测量结果^①（见图13·1-2）， $\beta_s = 80^\circ \sim 145^\circ$ ， $r_s = 3 \sim 28 \mu\text{m}$ ，切削时为很大的负前角。刚玉砂轮修整后， γ_s 平均为 $-65^\circ \sim -80^\circ$ ，经磨削一段时间后，还会进一步增大至 -85° 。说明磨粒切削刃上的负前角远大于一般切削刀具的负前角，

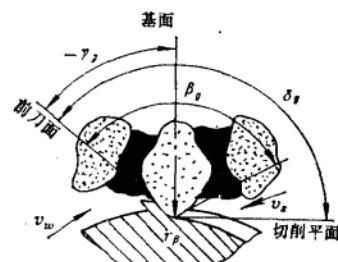


图13·1-1 砂轮的磨粒切削刃参数

① 苏联Д. Б. Вахсера测量结果。

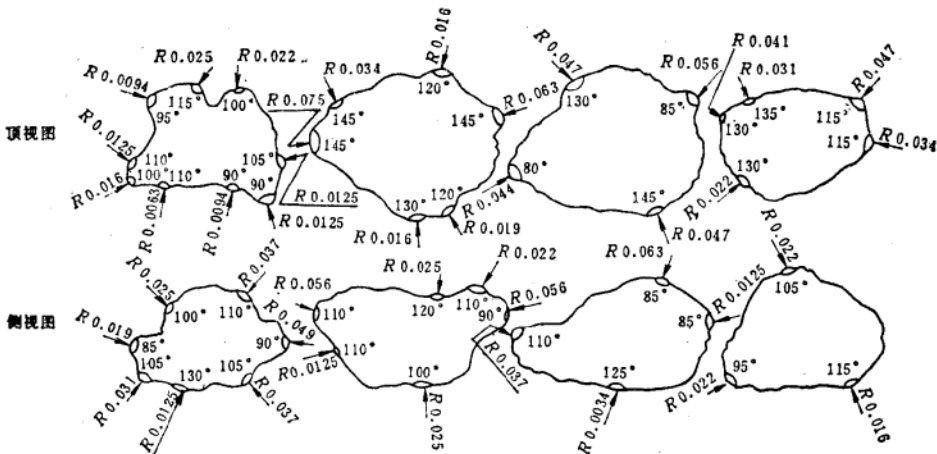


图13·1-2 磨粒的几何形状

刃端圆半径也较大。

磨粒经精细修整后，将产生一些微小的切削刃，称为微刃（图13·1-3）。

(2) 切削厚度薄 切削厚度一般只有几微米, 因此, 磨削加工表面可获得较好的精度与较低的表面粗糙度。又因磨粒有一定刃端圆半径, 而切削厚度很薄, 致使比磨削能大, 约为铣削的10倍以上。

(3) 磨削速度
高普通刀具的切削速度在 200m/min 以下，而砂轮的磨削速度可达 60m/s (3600m/min)，约为普通刀具切削的10倍以上。目前磨削速度已发展到 120m/s 。可获得较高的金属切除率，但同时也产生了有关磨削温度、磨削液效应等特殊问题。

2.2 磨削过程与切屑的形成

在磨削过程中磨粒与工件的接触情况见图13·1-4。切屑的形成大致分为三个阶段。

第Ⅰ阶段：磨粒与工件开始接触，由于砂轮结合剂及工件、磨床系统的弹性变形，法向切削力很小，磨粒未能切入工件而仅在工件表面产生摩擦，工件表层产生热应力。此阶段称弹性摩擦和变形阶段。



图13·1-3 磨粒的微刃

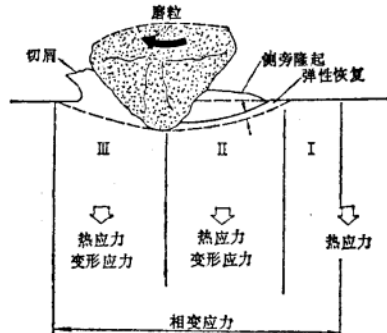


图 13·1-4 磨削中磨粒与工件接触状况

第Ⅰ阶段：由于砂轮切入量有所增加，法向切削力增大，磨粒已逐渐刻划进入工件，使部分材料向两旁隆起，工件表面形成刻痕，但磨粒前刀面上未有切屑流出。此时除磨粒与工件间相互摩擦外，更主要的是材料内部发生摩擦，工件表层不仅有热应力，而且有由于弹、塑性变形所产生的应力。此阶段将影响工件表面粗糙度及表面烧伤、裂纹等缺陷。此阶段称刻划阶段。

第Ⅱ阶段：此时磨粒切削已达一定深度，法向切削力增至一定程度后，被切材料处也已达一定温度，此部分材料沿剪切面滑移而形成切屑，并沿磨粒前刀面流出，在工件表层也产生热应力和变形应力。此阶段称切削阶段。

在这三个阶段，除了均可能产生热应力外，材料也可能产生由于相变而引起的应力。由图13.1-5

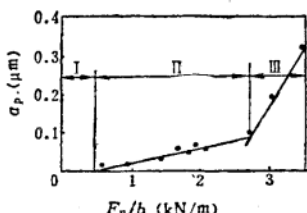


图13·1·5 法向磨削力与磨削深度的关系

工件材料：中碳铬钼钢，硬度 HRC53~55；
砂 轮：WA80MV，砂轮等效直径53mm；
 $v_s = 38 \text{ m/s}$ $v_w = 165 \text{ m/min}$
 F_n —法向切削力 b —磨削宽度 a_p —磨削深度

可看到典型过程三个阶段的转折点十分鲜明。

由于磨削深度不同、磨粒分布不均匀等原因，三个阶段的比例是变化的。例如，磨削深度越大，切削作用所占比例也越大；磨粒在砂轮上分布不均匀，两相邻磨粒越近，则后一磨粒的工作状况主要为弹性摩擦和变形。

磨粒切下的切屑非常细小（重负荷磨削除外），一般分为带状切屑、碎片状切屑和熔融的球状切屑 \ominus 。

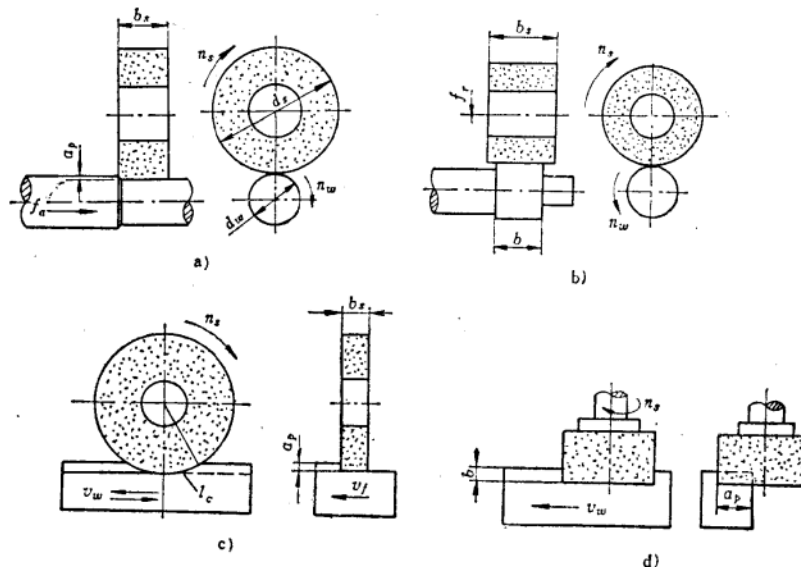


图13·1·6 磨削运动参数
a) 纵进给外圆磨 b) 切入磨 c) 圆周平面磨 d) 端面平面磨

2·3 磨削基本参数

与磨削运动有关的参数见图13·1·6。

(1) 砂轮速度 v_s

$$v_s = \frac{\pi d_s n_s}{1000 \times 60} \text{ m/s}$$

式中 d_s —砂轮直径 mm

n_s —砂轮转速 r/min

(2) 工件速度 v_w

$$v_w = \frac{\pi d_w n_w}{1000} \text{ m/min}$$

式中 d_w —工件直径 mm

n_w —工件转速 r/min

(3) 轴向进给量 f_z

粗磨钢件 $f_z = (0.3 \sim 0.7)b$

粗磨铸件 $f_z = (0.7 \sim 0.8)b$

精磨 $f_z = (0.1 \sim 0.3)b$

式中 b —砂轮宽度 mm

进给速度 v_f

$$\text{内、外圆 } v_f = \frac{f_z n_w}{1000} \text{ m/min}$$

\ominus 也有将切屑分成五种类型的，即：带状、剪切型、折裂型、积屑瘤型及熔球型。

(4) 磨削深度 a_p , mm

或径向进给量 f_r , mm/st、mm/min、
mm/r

(5) 砂轮与工件的接触弧长 l_e (参考图13·1-6c)

$$l_e \approx \sqrt{a_p d_s} \text{ mm}$$

l_e 的大小表明磨削热源的大小、冷却及排屑的难易、砂轮是否出现堵塞等现象。一般内圆磨削接触弧最长，其次是平面磨削，外圆磨削最小。

(6) 未变形切屑厚度 a_{eg}

$$a_{eg\max} = \frac{2v_w}{v_s} l_e \sqrt{\left(\frac{d_w + d_s}{d_w - d_s}\right) f_r}$$

式中 v_w/v_s 值越小， $a_{eg\max}$ 越小，所以高速磨削比一般速度磨削更为有利； $a_{eg\max}$ 与 $\sqrt{f_r}$ 成正比，当 f_r 增加一倍时， $a_{eg\max}$ 只增加40%左右。从增加生产率着眼，增加 f_r （如深磨法）比增加 v_w 有利；连续刃距 l_e 较小， d_s 增加及 d_w 增加可使 $a_{eg\max}$ 减小。

(7) 金属切除率 Z

$$Z = 1000 v_w f_s a_p \text{ mm}^3/\text{min}$$

(8) 单位砂轮宽度金属切除率 Z'

$$\begin{aligned} Z' &= \frac{Z}{b} \\ &= \frac{1000 v_w f_s a_p}{b} \text{ mm}^3/(\text{mm} \cdot \text{min}) \end{aligned}$$

式中 b —— 砂轮磨削宽度 mm

Z' 表示砂轮的磨削性能和生产率的高低。

(9) 磨削比 G

$$G = \frac{Z}{Z_s}$$

式中 Z_s —— 表示每分钟内砂轮磨损的体积

G 大，表示砂轮的切削性能好，生产率高，经济效果好。

(10) 磨耗比 G_s

$$G_s = \frac{Z_s}{Z}$$

G_s 小，说明砂轮耐用度高，经济效果好。

(11) 比磨削能 u_i 。磨除单位体积（或重量）金属所消耗的能量称为比磨削能。单位 N·m/mm³ 或 J/mm³。

u_i 是估算磨削力和功率常用的量， u_i 越小，材料的可磨性好，相对金属切除率高。

2·4 磨削力和功率

2·4·1 磨削力

磨削时作用于工件和砂轮之间的力称为磨削力，在一般外圆磨削情况下，磨削力可以分解为互相垂直的三个分力，见图13·1-7。

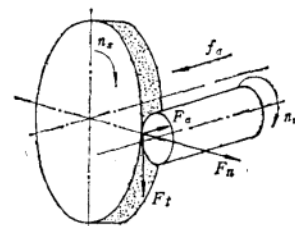


图13·1-7 外圆磨削力

F_t —— 切向磨削力（砂轮旋转的切线方向）；
 F_n —— 法向磨削力（砂轮和工件接触面的法线方向）；
 F_z —— 轴向磨削力（纵向进给方向）。

切向磨削力 F_t 是确定磨床电动机功率的主要参数，又称主磨削力；法向力 F_n 作用于砂轮的切入方向，压向工件，引起砂轮轴和工件的变形，加速砂轮钝化，直接影响工件精度和加工表面质量；轴向磨削力 F_z 作用于机床的进给系统，但与 F_t 和 F_n 相比数值很小，一般可不考虑。

在磨削中 F_n 大于 F_t ，其比值 F_n/F_t 约等于 1.5~4，这是磨削的一个显著特征。 F_n 与 F_t 的比值随工件材料、磨削方式的不同而不同，见表13·1-3。从表中可以看出磨削方式的不同对比值的影响不大，而工件材料不同则影响较大。重负荷荒磨 F_n/F_t 比值比其他磨削方式高。缓进给平面磨削磨削力的比值受磨削深度 a_p 的影响，与一般磨削有所区别。

磨削力的计算，现在还很不统一，下面介绍外圆磨削磨削力的实验公式：

$$F_t = C_F a_p^n v_s^{-\beta} v_w^r f_s^{\gamma} b^{\delta} \text{ N}$$

式中指数根据国内外学者实验研究汇总于表13·1-4，以供参考。另外，有关平面磨削的切向力提出了如下实验公式，其中指数值见表13·1-5。

$$F_t = C_F a_p^n v_s^{-\beta} v_w^r$$

从表中可看出，各个指数值因研究者不同而有

表13·1·3 不同磨削方式 F_n/F_t 的比值

磨削方式	外圆磨削			60 m/s 高速外圆磨削	平面磨削	缓进给平面磨削	内圆磨削		重负荷荒磨	砂带磨削
被磨材料	45钢	GCr15	W18Cr4V	45钢淬火	SAE52100钢 (HRC43)	In-738	45钢未淬火	45钢淬火	1Cr18Ni9Ti GCr15 60Si2Mn	GCr15
F_n/F_t	≈2.04	≈2.7	≈4.0	2.2~3.5	1.75~2.13	1.8~2.4	1.8~2.06	1.98~2.66	平均 5.2	1.7~2.1

表13·1·4 外圆磨削力实验式的指数值

研究者	α	β	γ	δ	ϵ	C_F		备注
						淬硬钢	22	
П. И. Ямерин	0.6	—	0.7	0.7	—	未淬硬钢	21	$v_s = 20 \text{ m/s}$ $b_s = 40 \text{ mm}$
						铸铁	20	
						A46KV5		
Arzimauritch	0.6	—	0.4	0.37	—	—	—	
Koloreuritch	0.5	0.9	0.4	0.6	—	—	—	
Babtschinizer	0.6	—	0.75	0.6	—	—	—	
Norton Co.	0.5	0.5	0.5	0.5	0.5	—	—	
渡边	0.88	0.76	0.76	0.62	0.38	—	—	

差别，但从中可看出各个加工条件对磨削力的大致影响。即磨削力随磨削深度 a_p 、工件速度 v_w 及进给量 f_z 的增大而增大，随砂轮速度 v_s 的增大而减小。

这种方法适用于各种磨削方式，但只能测出切向磨削力的平均值，不能测得磨削力的瞬时值。

2·4·2 磨削功率

磨削功率 P_m 计算是磨床动力参数设计的基础。由于砂轮速度很高，功率消耗很大。主运动所消耗的功率为：

$$P_m = \frac{F_t v_s}{1000} \text{ kW}$$

式中 F_t ——切向磨削力 N

v_s ——砂轮速度 m/s

砂轮电机功率 P_h 由下式计算：

$$P_h = \frac{P_m}{\eta_m}$$

式中 η_m ——机械传动总效率，一般取 0.7~0.85

磨削功率也可参照图表来确定。图13·1·8和图13·1·9分别为切入外圆磨削、平面磨削的单位磨削功率图，可分别从图中查出单位磨削功率 P_g (kW/(cm³·min⁻¹)), 再乘上金属切除率 Z (mm³/min), 即可得主运动所需的磨削功率。再除以机械传动效率 (η_m), 即可得砂轮电动机功率：

$$F_t = \frac{P_E \cdot \eta_E}{\pi n_s d_s} \times 10^6 \text{ N}$$

式中 P_E ——磨头电动机实测输入功率 kW

η_E ——电动机传动效率

n_s ——砂轮转速 r/s

d_s ——砂轮直径 mm

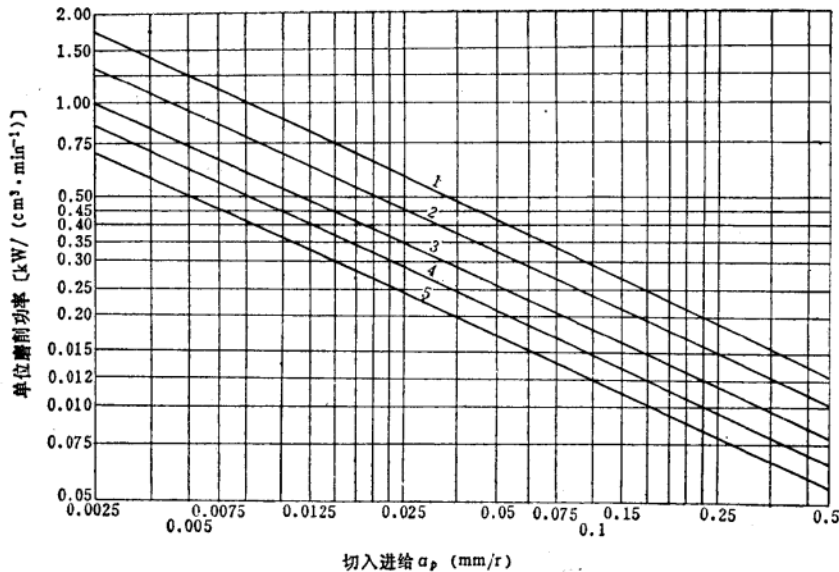


图 13-1-8 外圆切入磨削单位磨削功率
 1—低碳镍铬钼钢 (170HB) 2—铸铁 (250HB) 3—硬级砂轮磨中碳铬钼钢
 4—中硬级砂轮磨中碳铬钼钢 5—中级砂轮磨中碳铬钼钢

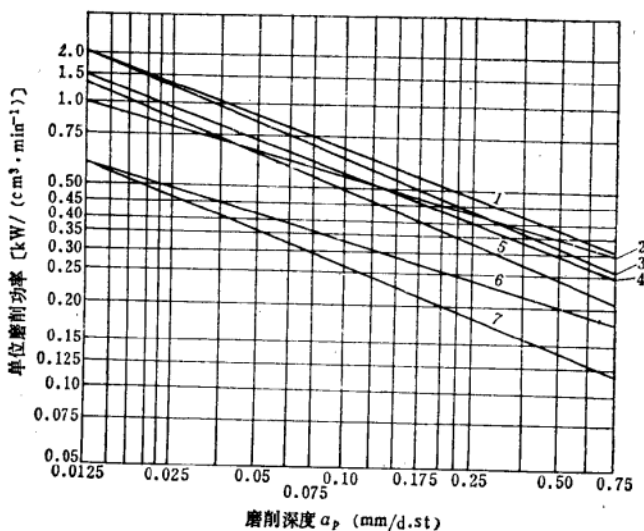


图 13-1-9 平面磨削单位磨削功率
 1—工具钢 (HRC67) 2—钛合金 (300HB) 3—镍基高温合金 (340HB) 4—低碳钢 (110HB)
 5—铸铁 (215HB) 6—铝 (80HB) 7—铜 (150HB)

$$P_A = \frac{P_e Z}{1000\eta_m} \text{ kW}$$

2·4·3 比磨削能 \bar{u}_e

图13·1-10为比磨削能 \bar{u}_e 与切削厚度的关系。图中不同的切削厚度分别与车削、铣削及磨削相对应。由图可见，随着切削厚度的减小， \bar{u}_e 值逐渐增大。磨削时切削厚度比车、铣时薄得多，因此 \bar{u}_e 值也大得多，这种现象称之为金属切除的尺寸效应。

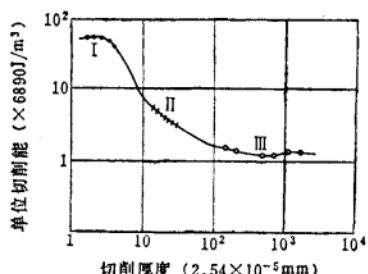


图13·1-10 比磨削能与切削厚度的关系
I—磨削 II—铣削 III—车削

图13·1-11为比磨削能随 v_e 及金属切除率 Z 而变化。 Z 越大， \bar{u}_e 值越低， v_e 越高， \bar{u}_e 值也越高。在相同条件下，磨削两种不同的材料，比磨削能 \bar{u}_e 值低的材料容易磨削。

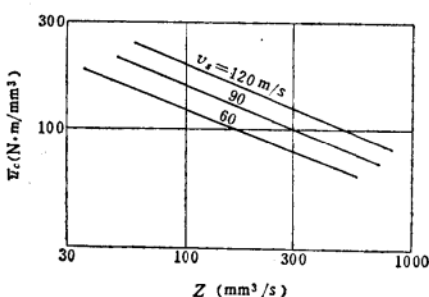


图13·1-11 比磨削能与 v_e 及 Z 的关系

2·5 磨削热和磨削温度

磨削过程与其他切削过程相比，单位磨削力大，磨削速度很高，因此，其比磨削能比其他切削方法大很多倍，这些能量绝大部分转化为热能。而这些热能的分配与其他切削有很大的不同，约有80%传入工件（车削约3~9%），切屑带走约4~8%，

砂轮带走约10~16%，另有少部分以传导和辐射形式散出。由于磨削速度高，热量来不及传入工件深处，而瞬时集聚在很薄的表层，形成表层中极大的温度梯度。磨粒磨削点的温度可达1000°C以上，而表层下1mm处只有几十度。当局部温度很高时，加工表面就会出现种种热损伤及热变形，影响加工表面质量与加工精度。因此，控制与降低磨削温度是保证磨削质量的重要环节。

2·5·1 磨削温度

一般所说的磨削温度是指磨削区的温度，但磨削区附近的温度高低差别甚大，一般将磨削温度分为：

(1) 磨粒磨削点温度 磨粒切削刃与切屑接触点的温度，是磨削中温度最高的部位，其值瞬时可达1000°C以上。它不仅影响加工表面质量，而且影响磨粒的破碎、磨损，与切屑粘附熔着等现象有关。

(2) 磨削区温度 砂轮与工件接触区的平均温度，一般约有500~800°C。它影响磨削表面残余应力、烧伤及裂纹等（详见第4章第7节）。

(3) 工件平均温度 指磨削热传入工件，使工件总体温度升高，一般只有几十摄氏度，它直接影响工件的形状和尺寸精度。

2·5·2 降低磨削温度的途径

(1) 合理选择磨削用量

1) 砂轮速度 v_e 增高，磨削温度相应上升，越易发生烧伤。

2) 磨削深度 a_p 越大，工件表面温度越高，因此宜选较小的 a_p ，但 a_p 过小时，则导致磨削时滑擦与刻划的能量增加，反而易引起表面烧伤。

3) 工件速度 v_w 增高，产生的热量增加，但随着 v_w 增加，磨削热源在工件表面上移动的速度加快，散热的条件改善，故烧伤情况减轻。

在生产实践中较有效果的措施是减小磨削深度 a_p ，适当减小 v_e 及增加 v_w 来减少工件表面烧伤和裂纹。

(2) 正确选择砂轮 选用较粗的磨粒，采取粗修整，降低砂轮的硬度，控制砂轮磨损和防止砂轮粘着与堵塞，均能有效地降低磨削温度。其中砂轮硬度的合理选择对磨削表面烧伤影响很重要，在磨导热性差的材料、空心薄壁零件，工件与砂轮接触弧较长时，都应选较软的砂轮，以发挥砂轮的自

表13·1-6 低应力平面磨削与其他磨削主要参数比较

磨 削 方 式	低应力磨削	普通磨削	高应力磨削	缓进给磨削
砂 轮	A 46(G 或 H) V	A 46KV	A 46MV	A 46HV
砂轮速度 (m/s)	10~15	20	20	20~25
径向进给量 (mm/d.st)	0.0015~0.005	0.025	0.05	1~20 (mm)
纵向进给速度 (m/min)	12~15	27	36	0.3
磨削液	硫化油, 极压乳化液	乳 化 液	干 磨	乳 化 液

砺作用。

磨料的选择也有很大影响。如磨硬质合金零件, 采用碳化硅砂轮, 多数零件都出现烧伤现象。若选金刚石砂轮磨削, 则磨削力小, 干磨时摩擦系数小, 故磨削区发热量小。

在产生磨削热多和砂轮与工件接触面积大的情况下, 可采用大气孔砂轮或表面开槽砂轮。这种砂轮具有不易堵塞、切削能力强和散热快等优点。

(3) 提高冷却润滑效果(见本章第4节)

(4) 及时修整砂轮

(5) 采用低应力磨削工艺 采用低应力磨削, 工件表面可获得低的残余拉应力, 减少表面烧伤与裂纹。所谓低应力磨削, 即在表面0.025mm以下深度时, 残余应力小于120MPa。图13·1-12所示为低应力磨削与普通磨削产生的残余应力相比较。

低应力磨削砂轮速度要低, 砂轮硬度要软, 径向进给量较小, 表13·1-6为低应力平面磨削主要参数。

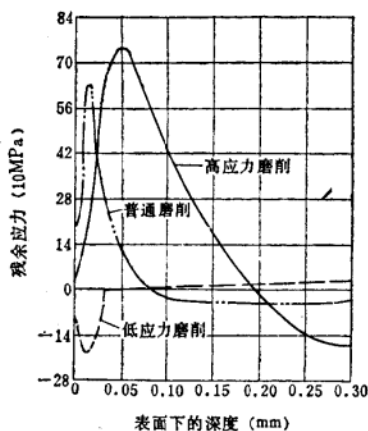


图13·1-12 不同磨削方式对残余应力的影响

低应力磨削适于磨削高强度和高温合金等精密零件, 但磨削效率低。因此, 磨削余量要小, 一般余量取0.25mm, 其中先以 $f_r = 0.01 \sim 0.02 \text{ mm/st}$ 切除0.2mm余量, 后再以 $0.005 \sim 0.01 \text{ mm/st}$ 切除剩下的余量。近来采用CBN砂轮, 由于能较长时间保持锋利的切削刃, 磨削效率有所提高。

第2节 磨料与磨具

磨料, 有天然磨料与人造磨料两大类。

天然磨料包括: 石英、石榴石、天然刚玉与天然金刚石等。

人造磨料包括: 刚玉系和碳化物系等普通磨料; 人造金刚石、立方氮化硼等超硬磨料以及硬度较低的磨料氧化铬、氧化铁、玻璃粉等。

现代磨具制造业主要选用人造磨料来制造磨具。各种磨料主要物理性能见表13·2-1。

磨具, 是指用结合剂或粘接剂将磨料按一定要求粘接而成的砂轮、油石、砂纸、砂带等以及用油料、水剂调合而成的研磨膏等用于磨削的工具。其大致分类见表13·2-2。

表13·2-1 各种磨料的主要物理性能

磨 料	显微硬度 (HV)	抗弯强度 (MPa)	抗压强度 (MPa)	热稳定性 (°C)
金 天然		210~490		
刚 人造	8600~10600		2000	700~800
石 人造		300		
立 方 氮 化 硼	7300~9000	300	800~1000	1250~1350
碳 化 钻	4150~9000	300	1800	700~800
碳 化 硅	3100~3400	155	1500	1300~1400
刚 玉	1800~2450	87.2	757	1200

表13-2-2 磨具大致分类

分类方法	类别	内 容
按磨具基本形状分类	固结磨具	砂轮、砂瓦、磨头、油石等
	涂覆磨具	砂布、砂纸、砂带等
	游离磨粒	研磨粉、研磨膏等
按磨料性能分类	普通磨料磨具	刚玉系和碳化物系磨料磨具
	超硬磨料磨具	金刚石磨具、立方氮化硼磨具
按突出特点分类		细粒度、高硬度、高速、大气孔、超薄片状砂轮等
按专门用途分类		玉石雕刻、牙医用磨具；磨钢球、纸浆、磨米等专用磨具，以及代用金刚石修整磨具等

1 普通磨料磨具

普通磨料的固结磨具，由磨粒、结合剂和气孔三部分组成。磨粒以其裸露在表面部分的棱角作为切削刃；结合剂将磨粒粘接在一起，经加压与熔

烧使之具有一定的形状和强度；气孔则在磨削中起容纳切屑、磨削液和散逸磨削热的作用。固结磨具的结构示意图见图13-2-1。

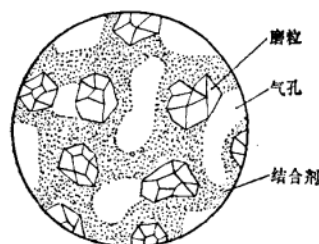


图13-2-1 固结磨具结构示意

为改善磨具性能，可用浸渍剂浸充于气孔之内，如浸硫、浸石蜡等，以增加磨具的润滑性。也有人把浸充物质称为固结磨具的第四要素。

1.1 普通磨料及其选择

1.1.1 普通磨料的品种、代号、特性及其应用范围（表13-2-3）

表13-2-3 普通磨料品种、代号及其应用范围

系类	名称	代 号	特 性	应 用 范 围
刚玉系	棕刚玉	A(GZ)	呈棕褐色，硬度较高，韧性较大，价格相对较低	适于磨削抗拉强度较高的金属材料，如碳钢、合金钢、可锻铸铁、硬青铜等
	白刚玉	WA(GB)	呈白色，硬度比棕刚玉高，韧性较低，易破碎，棱角锋利	适于磨削淬火钢、合金钢、高碳钢、高速钢以及加工螺纹及薄壁零件等
	单晶刚玉	SA(GD)	呈淡黄或白色，单颗粒球状晶体，强度与韧性均比棕、白刚玉高，具有良好的多棱多角的切削刃，切削能力较强	适于磨削不锈钢、高钒钢、高速钢等高硬、高韧性材料及易变形、烧伤的工件，也适用于高速磨削和低粗糙度磨削
	微晶刚玉	MA(GW)	呈棕黑色，磨粒由许多微小晶体组成，韧性大，强度高，工作时呈微刃破碎，自锐性能好	适于磨削不锈钢、轴承钢、特种球墨铸铁等较难磨材料，也适于成形磨、切入磨、高速磨及镜面磨等精加工
	铬刚玉	PA(GG)	呈玫瑰红或紫红色，韧性高于白刚玉，效率高，加工后表面粗糙度较低	适于刀具、量具、仪表、螺纹等低粗糙度表面的磨削
	锆刚玉	ZA(GA)	呈灰褐色，具有较高的韧性和耐磨性，是 Al_2O_3 和 ZrO_2 的复合氧化物	适用于对耐热合金钢、钛合金及奥氏体不锈钢等难磨材料的磨削和重负荷磨削
	黑刚玉	BA(GH)	呈黑色，又名人造金刚砂，硬度低，但韧性好，自锐性、亲水性较好，价格较低	多用于研磨与抛光，并可用来制做树脂砂轮及砂布、砂纸等

(续)

系类	名称	代号	特性	应用范围
碳化物系	黑色碳化硅	C(TH)	呈黑色，有光泽，硬度高，但性脆，导热性能好，棱角锋利，自锐性优于刚玉	适于磨削铸铁、黄铜、铅、锌等抗张强度较低的金属材料，也适于加工各类非金属材料，如橡胶、塑料、矿石、耐火材料及热敏性材料的干磨等，也可用于珠宝、玉器的自由磨粒研磨等
	绿色碳化硅	GC(TL)	呈绿色，硬度和脆性均较黑色碳化硅为高，导热性好，棱角锋利，自锐性能好	主要用于硬质合金刀具和工件、螺纹和其他工具的精磨，适于加工宝石、玉石、钟表宝石轴承及贵重金属、半导体的切割、磨削和自由磨粒的研磨等
	立方碳化硅	SC(TF)	呈黄绿色，晶体呈立方形，强度高于黑碳化硅，脆性高于绿碳化硅，棱角锋锐	适于磨削韧而粘的材料，如不锈钢、轴承钢等，尤适于微型轴承沟槽的超精加工等
	铈碳化硅	CC(TS)	呈暗绿色，硬度比绿碳化硅略高，韧性较大，工件不易烧伤	适用于加工硬质合金、钛合金以及超硬高速钢等材料
	碳化硼	BC(TP)	呈灰黑色，在普通磨料中硬度最高，磨粒棱角锐利，耐磨性能好	适于硬质合金、宝石及玉石等材料的研磨与抛光

注：根据 GB 2476—83《磨料代号》第1号修改单（刊载于《中国标准化》1987年第1期），括号内为旧代号，括号外为更改后新代号，自1987年1月1日起实施。

1.1.2 磨料选择应注意的问题

1) 须考虑被加工材料的性质。抗张强度较高的材料，应选用韧性大的磨料；硬度低、延伸率大的材料，应选用较脆的磨料；对高硬材料则应选择硬度更高的磨料。磨料对工件材料的适应性见表13·2·4。

2) 须注意选用不易与工件材料产生化学反应的磨料，以减少磨具的消耗。普通磨料与某些工件材料的化学反应情况见表13·2·5。

3) 磨料在加工过程中，会遇有不同介质，在一定的温度范围内，会受到侵蚀、产生化学反应以至完全分解。因此，必须在磨料选用时予以注意。刚玉和碳化物系在一定介质中和不同温度下产生化学变

表13·2·4 磨料对工件材料的适应性

磨料	按材料性能						按材料种类									硬质合金	
	硬度 (HRC)			延伸率		抗张强度		碳素钢	碳素工具钢	淬火结构钢	合金钢	轴承钢	高速钢	不锈钢	铸铁		
	<25	25~55	>55	大	小	>70	<70										
棕刚玉	△	△	△	△	△	△	△	△	△	△	△	△	△	△	△	△	
白刚玉	△	△	△	△	△	△	△	△	△	△	△	△	△	△	△	△	
单晶刚玉	△	△	△	△	△	△	△	△	△	△	△	△	△	△	△	△	
微晶刚玉	△	△	△	△	△	△	△	△	△	△	△	△	△	△	△	△	
铬刚玉	△	△	△	△	△	△	△	△	△	△	△	△	△	△	△	△	
锆刚玉	△	△	△	△	△	△	△	△	△	△	△	△	△	△	△	△	
黑碳化硅	△	△	△	△	△	△	△					△	△	△	△	△	
绿碳化硅	△	△	△	△	△	△	△					△	△	△	△	△	
碳化硼																△	

注：△表示磨料对加工材料适应。

表13·2·5 普通磨料与材料的化学反应

工件材料	刚玉系			碳化物系		
	反 应	熔 着	磨 耗	反 应	熔 着	磨 耗
低合金钢	无	无	小	大	有	大
镍	无	无	小	大	有	特大
不锈钢	无	无	中	中	有	特大
纯铁	小	小	小	大	大	大
铸铁(含Si1.4%, C2.4%)	小	小	小	中	无	小
铸铁(含Si2.4%, C2.8%)	小	小	小	特小	无	小
钛	大	大	大	大	大	中

注：1. SiC受磨削区高温影响，分解生成FeSi与Fe₃C，故不适用于加工钢材，但适于加工高Si与高C铸铁，更适合加工非铁金属Zn、Pb、Cu和非金属材料。

2. 刚玉与Fe不发生化学反应，故适于加工铁金属，但与SiO₂反应生成3Al₂O₃·2SiO₂(莫来石)，故不适用于加工玻璃、陶瓷等硅酸盐类材料。

表13·2·6 磨料在不同介质中化学变化的趋势

介质	刚玉系	碳化物系
O ₂	不受侵蚀	在2200℃时分解为石墨
H ₂	不受侵蚀	在2500~2700℃内不分解
Cl ₂	在C和CO存在下，生成AlCl ₃	600℃下安全，在1200℃下受侵蚀
S, H ₂ S	起反应，生成Al ₂ S ₃	S在1000℃以上，受侵蚀
N ₂	高温下与C共存，起反应	
H ₂ O		在1300~1400℃时，与水蒸汽作用分解
酸	HF、HCl高温下受侵蚀	安定不受侵蚀
碱	溶于熔融碱	在高温下不熔融，在NaOH及KNO ₃ 混合液中700℃时可完全分解
金属氧化物	与NiO、CaO、FeO在高温下起反应	在1000℃时，受CaO、MgO侵蚀；在1100~1300℃时，与Fe ₂ O ₃ 、Al ₂ O ₃ 作用分解；在1500℃时与NiO、MgO、CaO化合；有时与金属硅酸生成CO

化的趋势见表13·2·6。

1.2 普通磨料粒度及其选择

粒度，系表示磨料的颗粒尺寸，其大小用粒度号表示，并按尺寸大小分为41个粒度号。其中4°~240°的27个号用筛选法分级，并以1 in长度上有多少个筛孔来表示。如：12°粒度，是指1 in长度上

有12个筛孔。用符号W表示的磨粒称为微粉，其粒度是用微粉的基本尺寸表示的。如W40，其粒度的实际尺寸为40~28μm之间。自W63~W0.5之间，共有14个粒度号。微粉是应用水力按不同沉降速度进行分选的。

磨料粒度的基本尺寸范围，分别见表13·2·7和表13·2·8。

表13·2·7 粒度号及其基本尺寸(GB2477—83)

粒度号	基本尺寸	粒度号	基本尺寸	粒度号	基本尺寸	μm
4°	5600~4750	20°	1180~1000	70°	250~212	
5°	4750~4000	22°	1000~850	80°	212~180	
6°	4000~3350	24°	850~710	90°	180~150	
7°	3350~2800	30°	710~600	100°	150~125	
8°	2800~2360	36°	600~500	120°	125~106	
10°	2360~2000	40°	500~425	150°	106~75	
12°	2000~1700	46°	425~355	180°	90~63	
14°	1700~1400	54°	355~300	220°	75~53	
16°	1400~1180	60°	300~250	240°	75~53	

表13·2·8 微粉粒度号及其基本尺寸

(GB 2477—83) μm

粒度号	基本尺寸	粒度号	基本尺寸
W63	63~50	W7	7~5
W50	50~40	W5	5~3.5
W40	40~28	W3.5	3.5~2.5
W28	28~20	W2.5	2.5~1.5
W20	20~14	W1.5	1.5~1.0
W14	14~10	W1.0	1.0~0.5
W10	10~7	W0.5	0.5及更细

粒度的选择应考虑加工工件尺寸、几何精度、表面粗糙度、磨削效率以及如何避免某些磨削缺陷的产生等因素。一般说，要求工效高、表面粗糙度较高、砂轮与工件接触面大、工件材料韧性大和延伸性较大以及加工薄壁工件时，应选择粗一些的粒度；反之，加工高硬脆、组织紧密的材料，精磨、成形磨或高速磨削时，则应选择较细的粒度。按磨削条件和磨削方式选择磨料粒度分别见表13·2·9和图13·2·2。

图13·2·2中未能表达的微粉范围：W40主要用于螺纹磨、珩磨、精磨及超精磨；W28~W7主要用于精磨、超精磨及制造研磨剂；W5及更细粒度主要用于超精磨、镜面磨和制造研磨剂等。

表13·2·9 不同磨削条件选择

磨料粒度的趋势

粗 ← 粒 度 → 细		
大 ←	加 工 余 量	→ 小
粗 ←	加 工 粗 精 程 度	→ 精
软、粘 ←	工 件 材 质	→ 硬、脆
宽 ←	加 工 时 接 触 面 积	→ 窄
大 ←	砂 轮 直 径	→ 小
粘 ←	结 合 剂 性 质	→ 脆

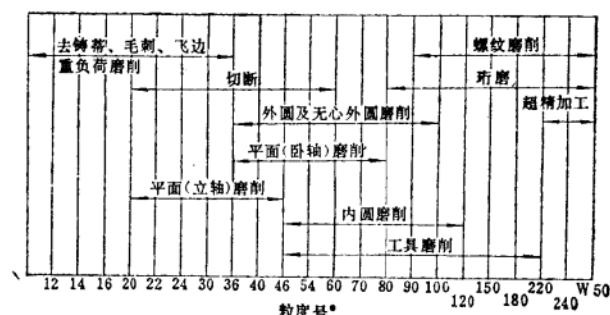


图13·2·2 不同磨削方式选用磨料粒度的范围

1·3 普通磨具硬度及其选择

磨具硬度是指磨具工作时在外力作用下磨粒脱落的难易程度。磨粒易脱落，则磨具硬度低，反之，硬度就高。

1·3·1 磨具硬度等级及代号（表13·2·10）

表13·2·10 磨具硬度等级及其代号

硬 度 等 级 名 称		代 号	
大 级	小 级	GB 2484—84	GB 2484—81
超 软	超 软	D, E, F	CR
软	软 1~3	G, H, J	R1~3
中 软	中 软 1~2	K, L	ZR1~2
中	中 1~2	M, N	Z1~2
中 硬	中 硬 1~3	P, Q, R	ZY1~3
硬	硬 1~2	S, T	Y1~2
超 硬	超 硬	Y	CY

1.3.2 磨具硬度的选择

不同磨削条件选择磨具硬度的趋势见表 13·2-11。

表13·2-11 不同磨削条件选择
磨具硬度的趋势

软	←	硬	度	→	硬
硬、脆	←	工件材质	→	软、粘	
宽	←	加工时接触面积	→	窄	
高	←	砂轮速度	→	低	
低	←	工件转速	→	高	
良好	←	机床精度	→	不良	
熟练	←	操作者熟练程度	→	不熟练	

此外，还应注意：

- 1) 加工导热性能差的金属材料及树脂、橡胶等有机材料，磨削薄壁件，采用深切缓进给磨削，选择磨具硬度应低些，镜面磨削选择超软磨具；
- 2) 工件材料相同，加工外圆比加工平面、内孔，成形磨削比一般磨削，应选择硬度高些的磨具；
- 3) 高速、高精密、间断表面磨削，钢坯荒磨、

工件去毛刺等，应选择较硬磨具；

4) 用砂瓦和筒形砂轮端面加工平面，砂瓦的硬度可选择高一些；

5) 工作时自动进给比手动进给，湿磨比干磨，树脂结合剂砂轮比陶瓷结合剂砂轮，选择硬度均应高些。

不同切削方式选择磨具硬度范围见图13·2-3。

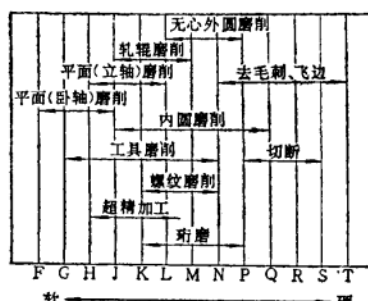


图13·2-3 不同切削方式选择磨具硬度范围

1.4 普通磨具结合剂及其选择

结合剂的代号、性能及其适用范围见表 13·2-12。

表13·2-12 结合剂代号、性能及其适用范围

类别	名称及代号 (GB 2484—84)	原 料	性 能	适 用 范 围
无机结合剂	陶瓷结合剂 V(A)	粘土、长石、硼玻璃、石英及滑石等	化学性能稳定，耐热，抗酸、碱，气孔率大，磨耗小，强度较高，能较好保持磨具的几何形状，但脆性较大	适用于内、外圆、无心、平面、螺纹及成形磨削以及刃磨、珩磨及超精磨等；适用于对碳钢、合金钢、不锈钢、铸铁、有色金属以及玻璃、陶瓷等材料进行加工
	菱苦土结合剂 Mg(L)	氧化镁及氯化镁等	工作时发热量小，其结合能力次于陶瓷结合剂，有良好的自锐性，强度较低，且易水解	适用于磨削热传导性差的材料及磨具与工作接触面较大的工作，还广泛用于石材加工和磨米
有机结合剂	树脂结合剂 B(S)	酚醛树脂或环氧树脂等	结合强度高，具有一定的弹性，能在高速下进行工作，自锐性能好，但其耐热性、坚固性较陶瓷结合剂差，且不耐酸、碱	适用于荒磨、切断和自由磨削，如磨钢锭，打磨铸、锻件毛刺等；可用来制造高速、低粗糙度、重负荷、薄片切断砂轮，以及各种特殊要求的砂轮
	橡胶结合剂 R(X)	合成及天然橡胶	强度高，弹性好，磨具结构紧密，气孔率较小，磨粒钝化后易脱落，但耐酸、耐油及耐热性能较差，磨削时有臭味	适用于制造无心磨导轮，精磨、抛光砂轮，超薄型切割用片状砂轮以及轴承精加工用砂轮

注：括号内代号为旧代号，见GB 2484—81。

1.5 普通磨具组织及其选择

磨具的组织是表示磨具中磨料、结合剂和气孔三者之间不同体积的比例关系。当前两者占据的体积增大时，气孔所占体积就小，组织就紧密，反之，组织就较疏松。

磨具组织的表示方法有两种：

一是以磨具中气孔的数量和大小——气孔率来表示的，见表13·2-13。

表13·2-13 以气孔率表示的磨具组织

松紧程度	高密度	中等密度	大气孔
气孔率(0/00)	趋于0	20~40	40~60或更高

二是以磨料在磨具体积中所占百分比——磨粒率来表示的。此法间接地反映了磨具的松紧程度，也反映了磨具工作部位的单位面积上可参加切削的磨粒数目的多少。磨粒率的大小，一般是通过工艺配方进行控制的。以磨粒率表示磨具组织及其适用范围见表13·2-14。

在组织号14以外，还发展了大气孔砂轮。即在

砂轮工艺配方中加入一定数量的精萘或碳粒，经焙烧挥发后形成大气孔。

1.6 普通磨具强度及其选择

磨具强度系指磨具在高速旋转中离心力的作用下，抵抗其自身破碎的能力。为确保磨具在工作时不致破碎，就要求其破碎速度和工作速度保持一定的比例关系。这种关系用安全系数 f_{ss} 来表示。砂轮最高工作线速度 v_w 在60 m/s及以下时， $f_{ss}=2$ ； v_w 为80 m/s时， $f_{ss}=1.8$ 。

砂轮出厂前检验速度 v_o 为砂轮最高工作线速度 v_w 乘以检验系数 f_v ，即：

$$v_o = v_w \times f_v$$

f_v 的数值略低于 f_{ss} ， v_o 在35~80 m/s内， f_v 均为1.6。

影响砂轮强度的因素很多，除在使用时应严格遵守操作规程外，砂轮自身的各种因素，对强度也有很大影响，见表13·2-15。

国家对各类磨具的最高工作线速度作了明确规定，见表13·2-16。此表适用于最高工作线速度不小于15 m/s的各类型磨具。

表13·2-14 以磨粒率表示的磨具组织(GB 2484—84)及其应用范围

组织号	0	1	2	3	4	5	6	7	8	9	10	11	12	13	14	
磨粒率(%)	62	60	58	56	54	52	50	48	46	44	42	40	38	36	34	
适用范围	重负荷磨削，成形、精密磨削，间断磨削及自由磨削，或加工硬脆材料等				无心磨、内、外圆磨和工具磨，淬火钢工件磨削及刀具刃磨等				粗磨和磨削韧性大、硬度不高的工件，机床导轨和硬质合金刀具磨削，适合磨削薄壁、细长工件，或砂轮与工件接触面大以及平面磨削等				磨削热敏感较大的钨钼合金、磁钢、有色金属以及塑料、橡胶等非金属材料			

表13·2-15 砂轮自身因素对其强度的影响

砂轮自身的因素	砂轮强度		砂轮自身的因素	砂轮强度	
	较高	较低		较高	较低
磨料(对陶瓷结合剂而言)	WA、SA	A、MA	孔径与外径比	小	大
粒 度	细	粗	厚 度	厚	薄
硬 度	硬	软	形 状	平 形	异 形
组 织	紧	松	不 平 衡 值	小	大
结 合 剂	有 机	无 机	补 强 措 施	有	无